

# MT 二维有限元实现

钟乙源 175011071

推导二维地下电磁场的控制方程及边界条件，推导不带地形、矩形网格、双二次插值和双线性插值的有限元方程。最后分别用双线性插值单元和双二次插值单元计算层状模型，与解析解对比；用双二次插值单元计算二维模型，将我的程序的计算结果与 MTNet 社区的标准程序“MT2D”计算的准确结果对比，吻合良好。

## 一、二维大地电磁的控制方程与边界条件

### 1.1 控制方程

取时间因子为 $-i\omega t$ ，则 $\frac{\partial}{\partial t} = -i\omega$ 。麦克斯韦方程如下：

$$\nabla \times \vec{E} = -\frac{\partial \vec{B}}{\partial t} = i\omega\mu\vec{H} \quad (1)$$

$$\nabla \times \vec{H} = \vec{j} + \frac{\partial \vec{D}}{\partial t} = (\sigma - i\omega\epsilon)\vec{E} \quad (2)$$

$$\nabla \cdot \vec{B} = 0 \quad (3)$$

$$\nabla \cdot \vec{D} = \rho \quad (4)$$

式中， $\vec{E}$ 是电场强度，V/m； $\omega$ 是圆频率，单位rad/s； $\mu$ 是磁导率，单位H/m； $\vec{j}$ 是电流密度，单位A/m<sup>2</sup>； $\epsilon$ 是介电常数，单位F/m； $i = \sqrt{-1}$ ； $\sigma$ 是电导率，S/m。

选取如下坐标系： $y$ 方向平行于二维地质体走向，沿走向地质体无变化， $x$ 方向垂直于地质体走向， $z$ 方向垂直向下。

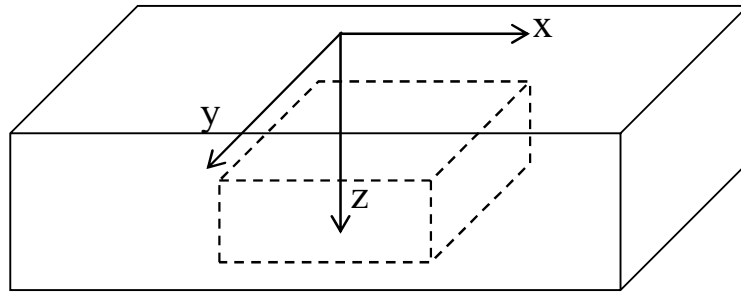


图 1.1 所选坐标系

将(1)在直角坐标下展开得

$$\nabla \times \vec{E} = \begin{vmatrix} \vec{i} & \vec{j} & \vec{k} \\ \frac{\partial}{\partial x} & \frac{\partial}{\partial y} & \frac{\partial}{\partial z} \\ E_x & E_y & E_z \end{vmatrix} = \vec{i} \left( \frac{\partial E_z}{\partial y} - \frac{\partial E_y}{\partial z} \right) + \vec{j} \left( \frac{\partial E_x}{\partial z} - \frac{\partial E_z}{\partial x} \right) + \vec{k} \left( \frac{\partial E_y}{\partial x} - \frac{\partial E_x}{\partial y} \right) = i\omega\mu\vec{H}$$

因为电磁场沿走向无变化，即  $\frac{\partial}{\partial y} = 0$ 。所以有

$$\begin{cases} -\frac{\partial E_y}{\partial z} = i\omega\mu H_x \\ \frac{\partial E_x}{\partial z} - \frac{\partial E_z}{\partial x} = i\omega\mu H_y \\ \frac{\partial E_y}{\partial x} = i\omega\mu H_z \end{cases}$$

同理，将(2)展开得

$$\nabla \times \vec{H} = \begin{vmatrix} \vec{i} & \vec{j} & \vec{k} \\ \frac{\partial}{\partial x} & \frac{\partial}{\partial y} & \frac{\partial}{\partial z} \\ H_x & H_y & H_z \end{vmatrix} = \vec{i} \left( \frac{\partial H_z}{\partial y} - \frac{\partial H_y}{\partial z} \right) + \vec{j} \left( \frac{\partial H_x}{\partial z} - \frac{\partial H_z}{\partial x} \right) + \vec{k} \left( \frac{\partial H_y}{\partial x} - \frac{\partial H_x}{\partial y} \right) = (\sigma - i\omega\varepsilon) \vec{E}$$

得到

$$\begin{cases} -\frac{\partial H_y}{\partial z} = (\sigma - i\omega\varepsilon) E_x \\ \frac{\partial H_x}{\partial z} - \frac{\partial H_z}{\partial x} = (\sigma - i\omega\varepsilon) E_y \\ \frac{\partial H_y}{\partial x} = (\sigma - i\omega\varepsilon) E_z \end{cases}$$

于是，可以得到一组 TE 波( $E_y$ 、 $H_x$ 、 $H_z$ )和一组 TM 波( $H_y$ 、 $E_x$ 、 $E_z$ )，如下所示。

TE 波：

$$\begin{cases} \frac{\partial H_x}{\partial z} - \frac{\partial H_z}{\partial x} = (\sigma - i\omega\varepsilon) E_y \\ -\frac{\partial E_y}{\partial z} = i\omega\mu H_x \\ \frac{\partial E_y}{\partial x} = i\omega\mu H_z \end{cases} \quad (5)$$

TM 波：

$$\begin{cases} \frac{\partial E_x}{\partial z} - \frac{\partial E_z}{\partial x} = i\omega\mu H_y \\ -\frac{\partial H_y}{\partial z} = (\sigma - i\omega\varepsilon) E_x \\ \frac{\partial H_y}{\partial x} = (\sigma - i\omega\varepsilon) E_z \end{cases} \quad (6)$$

由 (5) (6) 变换得

$$\text{TE: } \frac{\partial}{\partial z} \left( \frac{1}{i\omega\mu} \frac{\partial E_y}{\partial z} \right) + \frac{\partial}{\partial x} \left( \frac{1}{i\omega\mu} \frac{\partial E_y}{\partial x} \right) + (\sigma - i\omega\varepsilon) E_y = 0 \quad (7)$$

$$\text{TM: } \frac{\partial}{\partial z} \left( \frac{1}{\sigma - i\omega\epsilon} \frac{\partial H_y}{\partial z} \right) + \frac{\partial}{\partial x} \left( \frac{1}{\sigma - i\omega\epsilon} \frac{\partial H_y}{\partial x} \right) + i\omega\mu H_y = 0 \quad (8)$$

式 (7)、(8) 便是大地电磁法二维条件下的控制方程，写成统一格式，

$$\frac{\partial}{\partial z} \left( \tau \frac{\partial u}{\partial z} \right) + \frac{\partial}{\partial x} \left( \tau \frac{\partial u}{\partial x} \right) + \lambda u = 0 \quad (9)$$

或者，

$$\nabla \cdot (\tau \nabla u) + \lambda u = 0 \quad (10)$$

对于 TE 波:  $\tau = \frac{1}{i\omega\mu}$ ,  $\lambda = \sigma - i\omega\epsilon$ ; 对于 TM 波:  $\tau = \frac{1}{\sigma - i\omega\epsilon}$ ,  $\lambda = i\omega\mu$ 。

## 1.2 边界条件

### 1) TE 模式

对于 TE 模式，仅研究相互关联的  $E_y$ 、 $H_x$ 、 $H_z$ ，取如下所示的研究区域

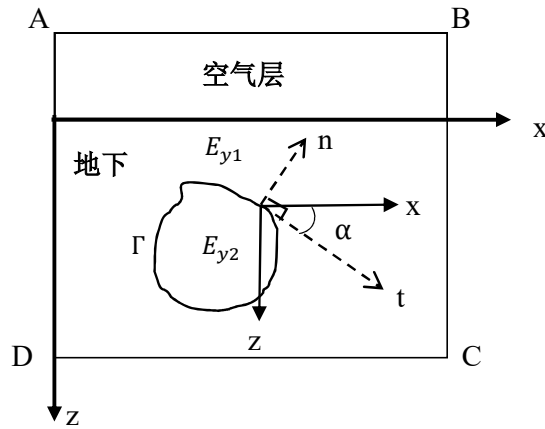


图 1.2.1 TE 波研究区域 (t 表示某点切线方向，n 表示法线方向)

#### 上边界 AB:

因为分界面处，电场在空气一侧的变化率与在地下一侧的变化率相差不大，所以地面的电场  $E_y$  也会受异常场影响，故应取 AB 离地面足够远，使异常场在 AB 上为零，以该处的 u 为 1 单位.

$$E_y|_{AB} = 1 \quad (11)$$

#### 下边界 CD:

假设在 CD 一下为均匀电阻率的介质，电磁波在 CD 以下的传播满足:

$$E_y = E_{y_{CD}} e^{-kz}$$

其中， $k = \sqrt{-i\omega\mu\sigma}$ ,  $\sigma$  是位于 CD 以下的介质的电阻率. 对 u 求导， $\frac{\partial u}{\partial z} = -ku$ , 因此 CD 处的边界条件是

$$\left( \frac{\partial}{\partial z} E_y + k E_y \right) \Big|_{CD} = 0 \quad (12)$$

左右边界 AD、BC:

使左右边界离异常体足够远, 则

$$\frac{\partial E_y}{\partial x} \Big|_{AD, BC} = 0 \quad (13)$$

内边界  $\Gamma$ :

如图 1.2.1 所示,  $E_y$  平行于介质分界面, 由电场切向分量连续可知

$$(E_{y1} = E_{y2}) \Big|_{\Gamma} \quad (14)$$

磁场的切向分量  $H_t = H_x \cos \alpha + H_y \sin \alpha$ , 又由式 (4) 得

$$\begin{aligned} H_t &= \left( -\frac{1}{i\omega\mu} \right) \frac{\partial E_y}{\partial z} \cos \alpha + \frac{1}{i\omega\mu} \frac{\partial E_y}{\partial x} \sin \alpha \\ &= \frac{1}{i\omega\mu} \left( \frac{\partial E_y}{\partial x} \sin \alpha - \frac{\partial E_y}{\partial z} \cos \alpha \right) \\ &= \frac{1}{i\omega\mu} \left[ \frac{\partial E_y}{\partial x} \cos \left( \alpha - \frac{\pi}{2} \right) + \frac{\partial E_y}{\partial z} \sin \left( \alpha - \frac{\pi}{2} \right) \right] \\ &= \frac{1}{i\omega\mu} \nabla E_y \cdot \vec{n} = \frac{1}{i\omega\mu} \frac{\partial E_y}{\partial n} \end{aligned} \quad (15)$$

又由磁场的切向分量连续可知  $\frac{1}{i\omega\mu} \frac{\partial E_y}{\partial n}$  连续, 即

$$\tau_1 \frac{\partial E_{y1}}{\partial n} = \tau_2 \frac{\partial E_{y2}}{\partial n}, \quad (16)$$

$n$  为如图 1.2.1 所示的外法线方向。

## 2) TM 模式

对于 TM 波, 取如下研究区域

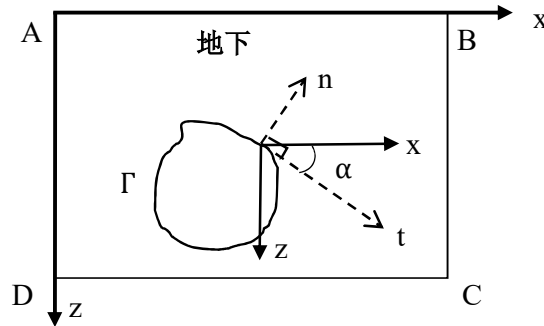


图 1.2.2 TM 波研究区域 (t 表示某点切线方向, n 表示法线方向)

AB 边界:

与 TE 模式不同, TM 模式中取地—空界面作为上边界。因为在空气中  $\sigma=0$ , 由 (6) 式

中  $\frac{\partial H_y}{\partial x} = (\sigma - i\omega\varepsilon)E_z$  可知,  $H_y$  随  $x$  的变化率与  $E_z$  有关, 根据电流的连续性, 在地表  $E_z=0$ ,

所以在地面上  $H_y$  水平方向变化率为 0, 因此地面的  $H_y$  可视为常数, 所以

$$H_y|_{AB} = 1, \quad (17)$$

**AD、BC 边界:**

同 TE 波.  $\frac{\partial u}{\partial x} = 0$ .

**CD 边界:**

同 TE 波.  $\frac{\partial u}{\partial z} + ku = 0$ .

**内边界  $\Gamma$ :**

由于磁场切向分量连续, 在两种介质分界面上

$$(H_{y1} = H_{y2})|_{\Gamma} \quad (18)$$

在图 1.2.2 中, 电场的切向分量

$$\begin{aligned} E_t &= E_x \cos \alpha + E_y \sin \alpha = \left( -\frac{1}{\sigma - i\omega\varepsilon} \right) \frac{\partial H_y}{\partial z} \cos \alpha + \frac{1}{\sigma - i\omega\varepsilon} \frac{\partial H_y}{\partial x} \sin \alpha \\ &= \frac{1}{\sigma - i\omega\varepsilon} \left( \frac{\partial H_y}{\partial x}, \frac{\partial H_y}{\partial z} \right) \cdot \left( \cos \left( \alpha - \frac{\pi}{2} \right), \sin \left( \alpha - \frac{\pi}{2} \right) \right) \\ &= \frac{1}{\sigma - i\omega\varepsilon} \frac{\partial H_y}{\partial n} \end{aligned}$$

因为电场切向分量连续, 所以

$$\tau_1 \frac{\partial}{\partial n} H_{y1} = \tau_2 \frac{\partial}{\partial n} H_{y2} \quad (19)$$

综上, 边界条件可以写为如下形式

$$\begin{cases} \nabla \cdot (\tau \nabla u) + \lambda u = 0 & \in \Omega \\ u = 1 & \in AB \\ \frac{\partial u}{\partial n} = 0 & \in AD, BC \\ \frac{\partial u}{\partial n} + ku = 0 & \in CD \\ u_1 = u_2 & \in \Gamma \\ \tau_1 \frac{\partial u_1}{\partial n} = \tau_2 \frac{\partial u_2}{\partial n} & \in \Gamma \end{cases} \quad (20)$$

## 二、有限元法推导

### 2.1 伽辽金法

已知  $\nabla \cdot (\tau \nabla u) + \lambda u = 0$ ，对方程两边积分有：

$$\int_{\Omega} [\nabla \cdot (\tau \nabla u) + \lambda u] \delta u d\Omega = 0 \quad (21)$$

其中， $u$  是对真解的逼近解， $\delta u$  是和  $u$  在同一函数空间的任意函数，即

$$u = \sum u_i N_i \quad (u_i \text{ 为待求的离散节点上的场值，} N_i \text{ 为形函数})$$

$$\delta u = \sum a_i N_i \quad (a_i \text{ 是任意的常数})$$

对区域进行离散后，有

$$\begin{aligned} & \sum_e \int_e \delta u \nabla \cdot (\tau \nabla u) d\Omega_e + \sum_e \int_e \delta u \lambda u d\Omega_e \\ &= \sum_e \int_e \tau_e \delta u \nabla^2 u d\Omega_e + \sum_e \int_e \delta u \lambda u d\Omega_e = 0 \end{aligned} \quad (22)$$

其中， $\sum_e$  表示对每个单元  $e$  累加， $\int_e d\Omega_e$  表示对单元积分。

对于上式的第一项，由格林公式得

$$\begin{aligned} \sum_e \int_e \tau_e \delta u \nabla^2 u d\Omega_e &= \sum_e \left( \int_e \tau_e \nabla \cdot (\delta u \nabla u) d\Omega_e - \int_e \tau_e \nabla \delta u \cdot \nabla u d\Omega_e \right) \\ &= \sum_e \left( \int_e \tau_e \delta u \frac{\partial u}{\partial n} dl - \int_e \tau_e \nabla \delta u \cdot \nabla u d\Omega_e \right) \end{aligned} \quad (23)$$

$n$  是单元的外法线方向，上式右边第一项线积分仅在下边界  $CD$  上有值，在其他边界上的积分为零。因为在单元间的边界上  $\tau_1 \frac{\partial u_1}{\partial n} = \tau_2 \frac{\partial u_2}{\partial n}$  (这里的  $n$  是同一方向)，而相邻单元的外法线方向相反，因此互相抵消；而在左右边界上  $\frac{\partial u}{\partial n} = 0$ ，上边界是强制边界， $\delta u = 0$  (我的理解是在强制边界上的点是已知点，没有对应的基函数  $N_i$ )，所以上式的线积分相当于在  $CD$  上进行积分。

将式 (23) 代入 (22)，结合  $CD$  上的边界条件便有

$$\sum_e \left( \int_{CD} -\tau_k u \delta u d\Gamma - \tau_e \int_e \nabla \delta u \cdot \nabla u d\Omega_e + \lambda_e \int_e u \delta u d\Omega_e \right) = 0 \quad (24)$$

在同一个单元内  $\lambda$  和  $\tau$  是常数，不同单元的  $\lambda$  和  $\tau$  不同。

用向量形式表示单元插值， $\underline{u} = (u_1, u_2, \dots, u_n)$  表示单元上各节点的值， $\underline{N} = (N_1, N_2, \dots, N_n)$

表示相应节点的插值函数，则  $u = \underline{u}^T \underline{N} = \underline{N}^T \underline{u}$ 。

式 (24) 的第二项可用插值形函数表示

$$\begin{aligned} \tau_e \int_e \nabla \delta u \cdot \nabla u d\Omega_e &= \tau \int_e \left( \delta \underline{u}^{(e)T} \frac{\partial \underline{N}^{(e)}}{\partial x} \frac{\partial \underline{N}^{(e)T}}{\partial x} \underline{u}^{(e)} + \delta \underline{u}^{(e)T} \frac{\partial \underline{N}^{(e)}}{\partial y} \frac{\partial \underline{N}^{(e)T}}{\partial y} \underline{u}^{(e)} \right) d\Omega_e \\ &= \tau \delta \underline{u}^{(e)T} \int_e \left( \frac{\partial \underline{N}^{(e)}}{\partial x} \frac{\partial \underline{N}^{(e)T}}{\partial x} + \frac{\partial \underline{N}^{(e)}}{\partial y} \frac{\partial \underline{N}^{(e)T}}{\partial y} \right) d\Omega_e \underline{u}^{(e)} \\ &= \delta \underline{u}^{(e)T} K_1^{(e)} \underline{u}^{(e)} \end{aligned} \quad (25)$$

式 (9) 第 3 项

$$\lambda_e \int_e u \delta u d\Omega_e = \delta \underline{u}^{(e)T} \left( \lambda_e \int_e \underline{N} \underline{N}^T d\Omega_e \right) \underline{u}^{(e)} = \delta \underline{u}^{(e)T} K_2^{(e)} \underline{u}^{(e)} \quad (26)$$

式 (9) 第 1 项

$$\int_{CD} \tau k u \delta u d\Gamma = \delta \underline{u}^{(e)T} \left( \int_e k \tau \underline{N} \underline{N}^T dl \right) \underline{u}^{(e)} \Big|_{CD} = \delta \underline{u}^{(e)T} K_3^{(e)} \underline{u}^{(e)} \quad (27)$$

总体合成, 得

$$\delta u (K_1 - K_2 + K_3) u = 0$$

因为  $\delta u$  是任意的, 所以必有

$$(K_1 - K_2 + K_3) u = 0 \quad (28)$$

## 2.2 单元插值

(1) 双线性插值

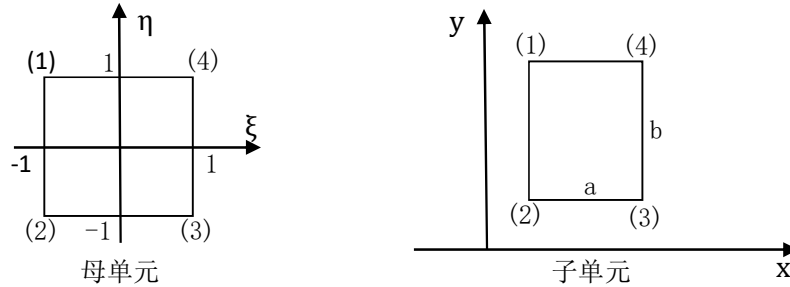


图 2.2.1 等参单元双线性插值

双线性插值等参单元示意图如图 2.2.1。

形函数:

$$\begin{aligned} N_1 &= \frac{1}{4}(1-\xi)(1+\eta), N_2 = \frac{1}{4}(1-\xi)(1-\eta) \\ N_3 &= \frac{1}{4}(1+\xi)(1-\eta), N_4 = \frac{1}{4}(1+\xi)(1+\eta) \end{aligned} \quad (29)$$

子单元上四个节点的函数值分别是  $u_1, u_2, u_3, u_4$ . 子单元上的  $u, x, y$  可表示成:

$$\left. \begin{aligned} u &= N_1 u_1 + N_2 u_2 + N_3 u_3 + N_4 u_4 \\ x &= N_1 x_1 + N_2 x_2 + N_3 x_3 + N_4 x_4 \\ y &= N_1 y_1 + N_2 y_2 + N_3 y_3 + N_4 y_4 \end{aligned} \right\} \quad (30)$$

在这里子单元是矩形, 可以得到两个单元间的坐标变换关系为

$$x = x_0 + \frac{a}{2} \xi, \quad y = y_0 + \frac{b}{2} \eta,$$

$$dx = \frac{a}{2} d\xi, \quad dy = \frac{b}{2} d\eta, \quad dxdy = \frac{ab}{4} \xi\eta$$

由式 (25) 可得

$$K_1^{(e)} = \int_e \tau \left( \frac{\partial \underline{N}}{\partial x} \frac{\partial \underline{N}^T}{\partial x} + \frac{\partial \underline{N}}{\partial x} \frac{\partial \underline{N}^T}{\partial y} \right) d\Omega_e \quad (31)$$

其中第 i 行、第 j 列的元素为

$$\begin{aligned} k_{ij} &= \int_e \tau \left( \frac{\partial N_i}{\partial x} \frac{\partial N_j}{\partial x} + \frac{\partial N_i}{\partial y} \frac{\partial N_j}{\partial y} \right) d\Omega_e \\ &= \int_e \tau \left( \frac{\partial N_i}{\partial \xi} \frac{d\xi}{dx} \frac{\partial N_j}{\partial x} \frac{d\xi}{dx} + \frac{\partial N_i}{\partial \eta} \frac{d\eta}{dy} \frac{\partial N_j}{\partial y} \frac{d\eta}{dy} \right) \frac{ab}{4} d\xi d\eta \end{aligned}$$

所以，

$$K_1^{(e)} = \begin{bmatrix} 2\alpha + 2\beta & \alpha - 2\beta & -\alpha - \beta & -2\alpha + \beta \\ \alpha - 2\beta & 2\alpha + 2\beta & -2\alpha + \beta & -\alpha - \beta \\ -\alpha - \beta & -2\alpha + \beta & 2\alpha + 2\beta & \alpha - 2\beta \\ -2\alpha + \beta & -\alpha - \beta & \alpha - 2\beta & 2\alpha + 2\beta \end{bmatrix} \quad (32)$$

其中， $\alpha = \frac{b\tau}{6a}$ ， $\beta = \frac{a\tau}{6b}$  (a、b 为单元边长)

由 (26) 式可得

$$K_2^{(e)} = \int_e \lambda \underline{N} \underline{N}^T d\Omega_e,$$

其中的元素  $k_{ij} = \int_e \lambda N_i N_j dx dy$ .

所以，

$$K_2^{(e)} = \frac{ab\lambda}{36} \begin{bmatrix} 4 & 2 & 1 & 1 \\ 2 & 4 & 2 & 1 \\ 1 & 2 & 4 & 2 \\ 2 & 1 & 2 & 4 \end{bmatrix} \quad (33)$$

假定单元的  $\overline{23}$  落在 CD 上，则在 CD 上  $\eta = -1$ ，则  $N_1 = N_4 = 0$ ， $N_2 = \frac{1}{2}(1 - \xi)$ ， $N_3 = \frac{1}{2}(1 + \xi)$ 。

由式 (27) 可得，

$$\begin{aligned} K_3^{(e)} &= \int_e k\tau \underline{N} \underline{N}^T dx = \int_e k\tau \begin{bmatrix} 0 \\ (1-\xi)/2 \\ (1+\xi)/2 \\ 0 \end{bmatrix} \begin{bmatrix} 0 & (1-\xi)/2 & (1+\xi)/2 & 0 \end{bmatrix} \frac{a}{2} d\xi \\ K_3^{(e)} &= \frac{k\tau a}{6} \begin{bmatrix} 0 & 0 & 0 & 0 \\ 0 & 2 & 1 & 0 \\ 0 & 1 & 2 & 0 \\ 0 & 0 & 0 & 0 \end{bmatrix} \quad (34) \end{aligned}$$



(2) 双二次插值

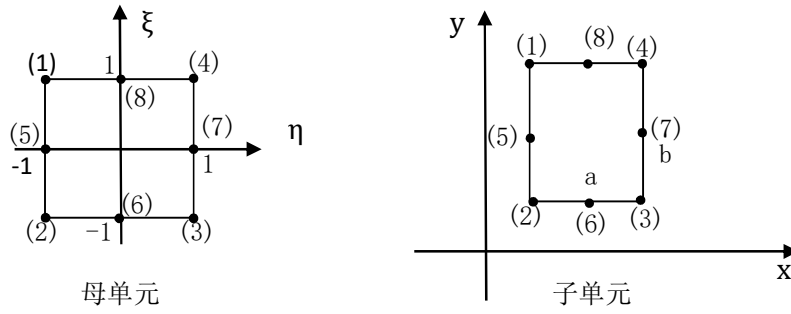


图 2.2.1 等参单元双线性插值

双二次插值每个单元使用用八个节点，如图 2.2.1。形函数如下，

$$\begin{aligned}
 N_1 &= \frac{1}{4}(1-\xi)(1+\eta)(-\xi+\eta-1) & N_5 &= \frac{1}{2}(1-\eta^2)(1-\xi) \\
 N_2 &= \frac{1}{4}(1-\xi)(1-\eta)(-\xi-\eta-1) & N_6 &= \frac{1}{2}(1-\xi^2)(1-\eta) \\
 N_3 &= \frac{1}{4}(1+\xi)(1-\eta)(\xi-\eta-1) & N_7 &= \frac{1}{2}(1-\eta^2)(1+\xi) \\
 N_4 &= \frac{1}{4}(1+\xi)(1+\eta)(\xi+\eta-1) & N_8 &= \frac{1}{2}(1-\xi^2)(1+\eta)
 \end{aligned} \tag{35}$$

当子单元为矩形同样可以计算得到  $x$ 、 $y$  与  $\xi$ 、 $\eta$  的关系，可以发现其关系与双线性单元一样。

$$\begin{cases} x = x_0 + \frac{a}{2}\xi, dx = \frac{a}{2}d\xi \\ y = y_0 + \frac{b}{2}\eta, dy = \frac{b}{2}d\eta \end{cases}$$

与双线性单元相似，利用式 (25) (26) (27) 计算刚度矩阵。得到，

$$K_1^{(e)} = \begin{bmatrix} 52(\alpha+\beta) & 17\alpha+28\beta & 52(\alpha+\beta) & 23(\alpha+\beta) & 28\alpha+17\beta & 52(\alpha+\beta) & 28\alpha+17\beta & 23(\alpha+\beta) & 17\alpha+28\beta & 52(\alpha+\beta) \\ 17\alpha+28\beta & 52(\alpha+\beta) & 23(\alpha+\beta) & 28\alpha+17\beta & 52(\alpha+\beta) & 28\alpha+17\beta & 23(\alpha+\beta) & 17\alpha+28\beta & 52(\alpha+\beta) & 23(\alpha+\beta) \\ 52(\alpha+\beta) & 23(\alpha+\beta) & 28\alpha+17\beta & 52(\alpha+\beta) & 28\alpha+17\beta & 52(\alpha+\beta) & 23(\alpha+\beta) & 17\alpha+28\beta & 52(\alpha+\beta) & 23(\alpha+\beta) \\ 23(\alpha+\beta) & 28\alpha+17\beta & 52(\alpha+\beta) & 28\alpha+17\beta & 52(\alpha+\beta) & 28\alpha+17\beta & 23(\alpha+\beta) & 17\alpha+28\beta & 52(\alpha+\beta) & 23(\alpha+\beta) \\ 28\alpha+17\beta & 52(\alpha+\beta) & 28\alpha+17\beta & 23(\alpha+\beta) & 17\alpha+28\beta & 52(\alpha+\beta) & 28\alpha+17\beta & 23(\alpha+\beta) & 17\alpha+28\beta & 52(\alpha+\beta) \\ 6\alpha-80\beta & 6\alpha-80\beta & -6\alpha-40\beta & -6\alpha-40\beta & 48\alpha+160\beta & -40\alpha-6\beta & -80\alpha+6\beta & -80\alpha+6\beta & -40\alpha-6\beta & 48\alpha+160\beta \\ -40\alpha-6\beta & -80\alpha+6\beta & -80\alpha+6\beta & -40\alpha-6\beta & 48\alpha+160\beta & -6\alpha-40\beta & -6\alpha-40\beta & 6\alpha-80\beta & 6\alpha-80\beta & -48\alpha+80\beta \\ -6\alpha-40\beta & -6\alpha-40\beta & 6\alpha-80\beta & 6\alpha-80\beta & -48\alpha+80\beta & 48\alpha+160\beta & -40\alpha-6\beta & -80\alpha+6\beta & -80\alpha+6\beta & -40\alpha-6\beta \\ -80\alpha+6\beta & -6\alpha-40\beta & -40\alpha-6\beta & -80\alpha+6\beta & -48\alpha+80\beta & 48\alpha+160\beta & 6\alpha-80\beta & 6\alpha-80\beta & -48\alpha+80\beta & 48\alpha+160\beta \end{bmatrix} \tag{36}$$

其中  $\alpha = \frac{\tau}{90} \frac{b}{a}$ ,  $\beta = \frac{\tau}{90} \frac{a}{b}$ 。

$$K_2^{(e)} = \frac{ab\lambda}{180} \begin{bmatrix} 6 & & & & & & & \\ 2 & 6 & & & & & & \\ 3 & 2 & 6 & & & & & \\ 2 & 3 & 2 & 6 & & & & \\ -6 & -6 & -8 & -8 & 32 & & & \\ -8 & -6 & -6 & -8 & 20 & 32 & & \\ -8 & -8 & -6 & -6 & 16 & 20 & 32 & \\ -6 & -8 & -8 & -6 & 20 & 16 & 20 & 32 \end{bmatrix} \quad (37)$$

$$K_3^{(e)} = \frac{k\tau a}{30} \begin{bmatrix} 0 & & & & & & & \\ 0 & 4 & & & & & & \\ 0 & -1 & 4 & & & & & \\ 0 & 0 & 0 & 0 & & & & \\ 0 & 0 & 0 & 0 & 0 & & & \\ 0 & 2 & 2 & 0 & 0 & 16 & & \\ 0 & 0 & 0 & 0 & 0 & 0 & 0 & \\ 0 & 0 & 0 & 0 & 0 & 0 & 0 & 0 \end{bmatrix} \quad (38)$$

将所有单元刚度矩阵相加，得到总体刚度矩阵，然后将顶面边界条件添加到方程中，变换得到方程右端项，求解方程组（式 28）便可以得到地面的场值。

### 三、模型计算

使用 Matlab 实现上述的算法，其中方程组求解采用 Bicgstab 迭代法求解器进行求解。计算层状介质模型，将结果与解析解对比。然后用双二次插值的程序计算两个 2 维模型，用国际大地电磁社区 MTNet 社区上的“MT2D”开源程序<sup>[1]</sup> (贡献者 Zhengyong Ren)进行验证。

#### 3.1 层状模型

分别用有限元法和有限差分法对层状模型进行计算，结果与解析解对比。

$\rho_1 = 1000\Omega \cdot m$ ,  $\rho_2 = 20\Omega \cdot m$ ,  $\rho_3 = 800\Omega \cdot m$ ,  $h_1 = 3000m$ ,  $h_2 = 1600m$ . 空气中电阻率令其为  $10^{10}\Omega \cdot m$ 。

有限元计算的参数如下：

(1) 空气层数：10

(2) 地下横向单元数：40

(3) 地下纵向单元数：30

(4) 空气层各单元高度（由上至下）：

DYair=12800,6400,3200,1600,800,600,400,200,50,50.

(5) 地下各单元纵向高度：

DY=50, 50, 50, 50, 50, 20, 500, 1100, 500, 200, 50, 50, 50, 50, 50, 50, 150, 250, 350, 350, 250, 150, 50, 50, 150, 250, 500, 1000, 1500, 2000.

(6) 地下各单元横向宽度：

DX=10000, 8000, 6000, 4000, 2000, 1200, 1200, 1200, 1200, 1200, 1000, 1000, 1000, 1000, 1000, 500, 500, 500, 500, 500, 500, 500, 500, 500, 500, 500, 500, 1000, 1000, 1000, 1000, 1000, 1200, 1200, 1200, 1200, 2000, 4000, 6000, 8000, 10000.

$$\rho_1 = 1000\Omega \cdot m, \quad h_1 = 3000m$$

$$\rho_2 = 30\Omega \cdot m, \quad h_2 = 1600m$$

$$\rho_2 = 800\Omega \cdot m$$

图 3.1 3 层模型示意图

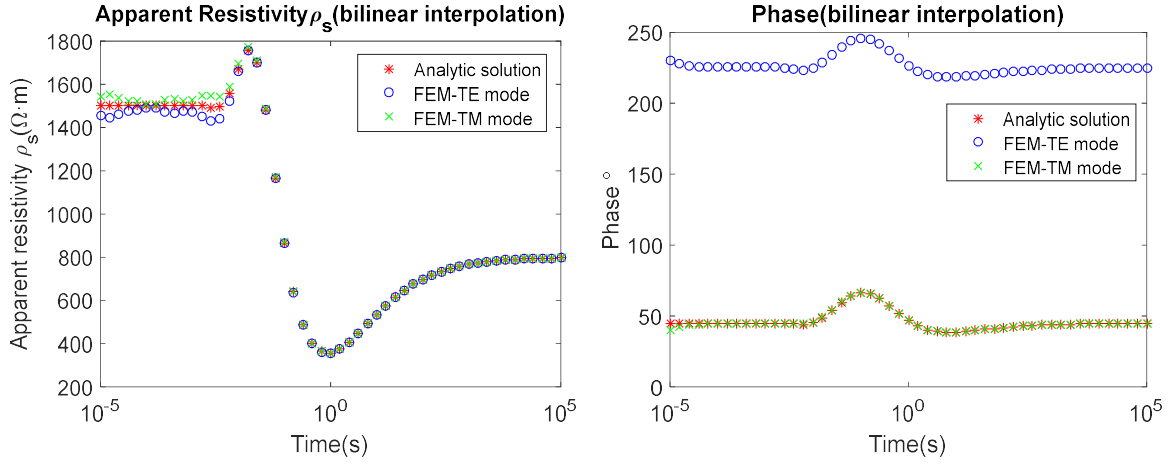


图 3.2 三层模型，双线性插值有限元计算

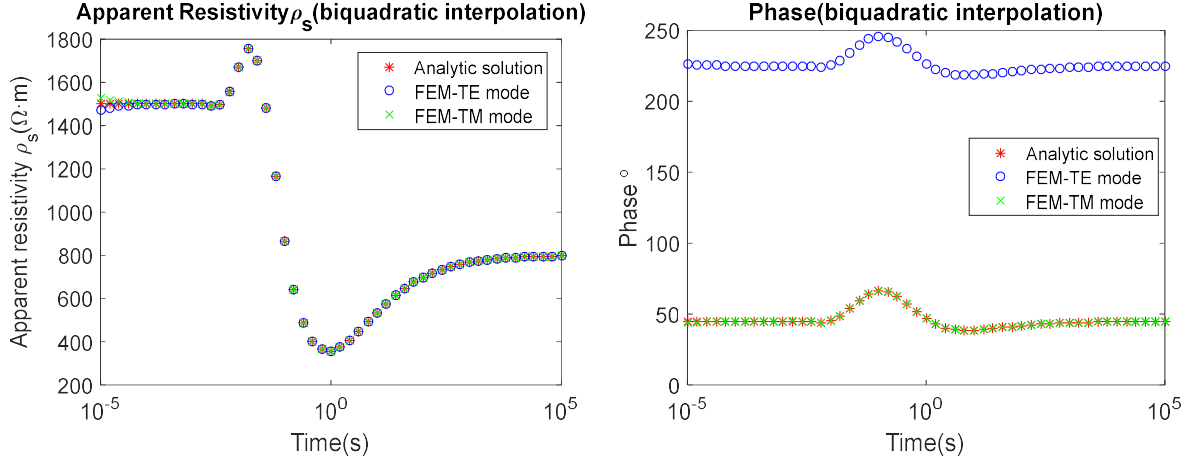


图 3.3 三层模型，双二次插值有限元计算

图 3.3 为双二次插值单元计算结果。对比两种插值方式，显然，双二次插值具有更高的精度，但同样的单元划分时双线性插值的计算量较大。

### 3.2 二维模型

模型示意图如图 3.4，背景为两层介质，第一层中包裹两个低阻异常体。用矩形网格的双二次插值的有限单元法计算 0.1Hz 的响应，用 MTNet 社区的 Ren<sup>[1]</sup>的开源程序“MT2D”的计算结果作为参考，验证我的程序的正确性。其中，Ren 的程序“MT2D”采用的是三角形非结构化网格的基于二次场的矢量有限元法，具有较高精度。

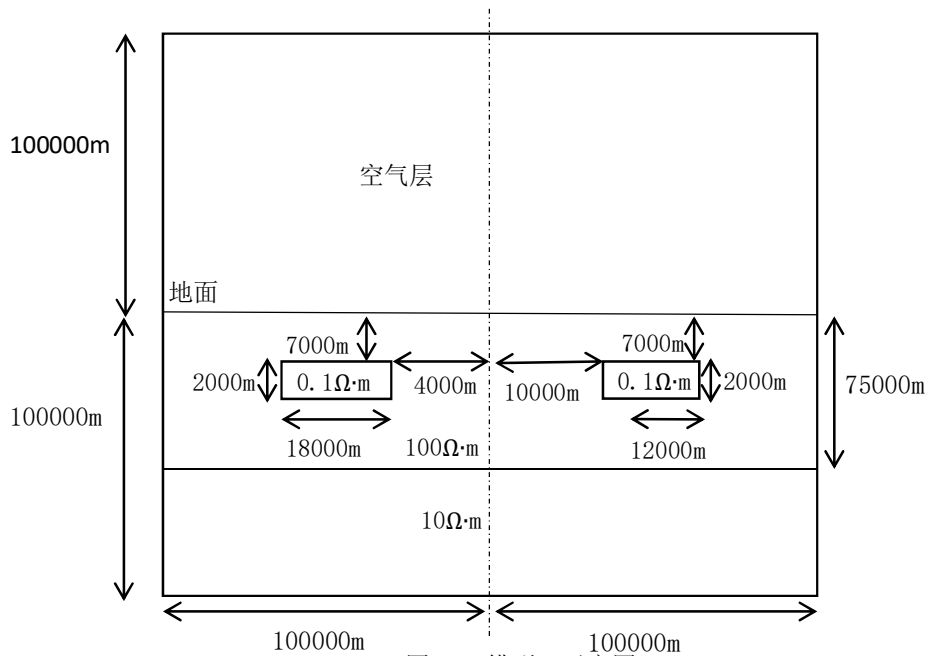


图 3.4 模型二示意图

计算结果如图 3.5 所示。误差如图 3.6 所示。相对误差小于 0.5%，说明我的程序的计算结果与 Ren 的计算结果吻合良好，验证了我们程序的正确性。

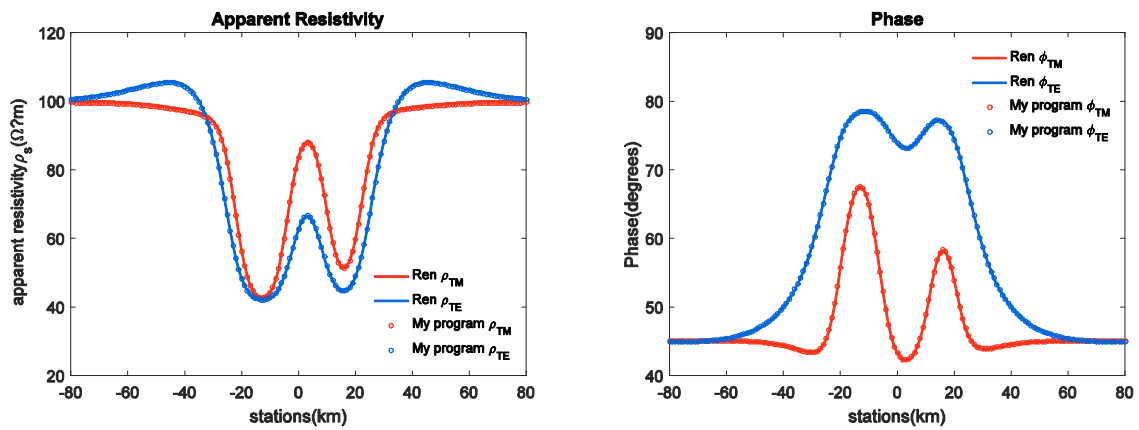


图 3.5 计算结果，左图为视电阻率，右图为相位

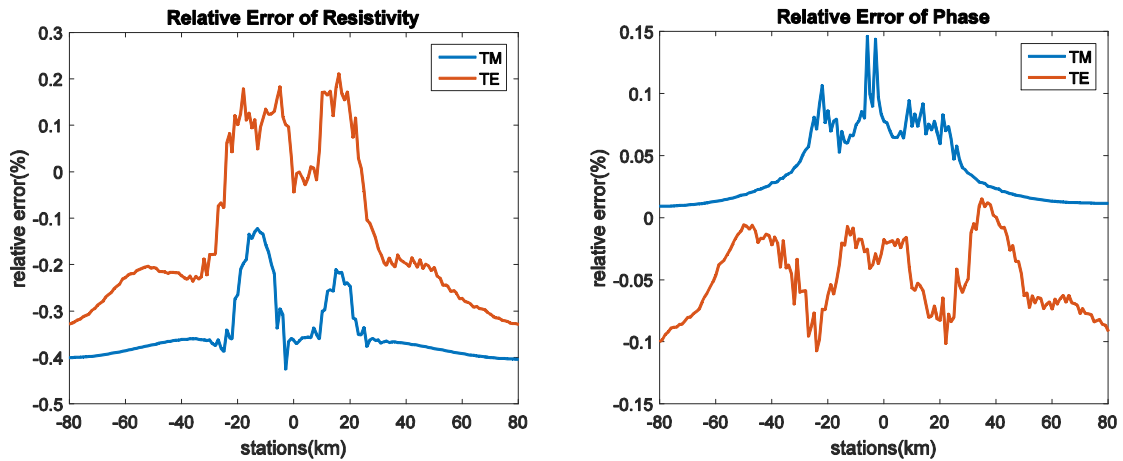


图 3.6 与 Ren 的程序计算结果相比的相对误差

随后用我的程序计算  $10^{-3}$  到  $10^3\text{Hz}$  的 60 个等对数间隔的频率，绘制视电阻率拟断面体如图 3.7 所示，阻抗相位的拟断面图如图 3.8 所示。从 TM 模式计算结果上，可以大致判断出低阻异常体位置，但是存在一定的静态效应的“挂面条”现象；从 TE 模式的拟断面图中，由于受到第二层的影响，图 3.4 的第一层介质的两个异常体虽然有一定的反映，但是不能从图中明显地反映出来。另外，从图中可以看出，TE 模式和 TM 模式的结果对于模型（图 3.4）中的层状构造都可以很好地识别。

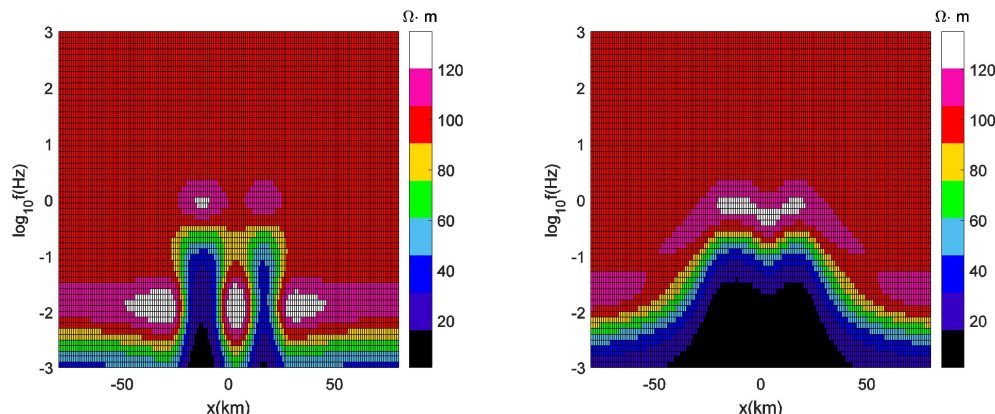


图 3.7 二维模型的卡尼亚视电阻率拟断面图。左图：TM 模式，右图 TE 模式。

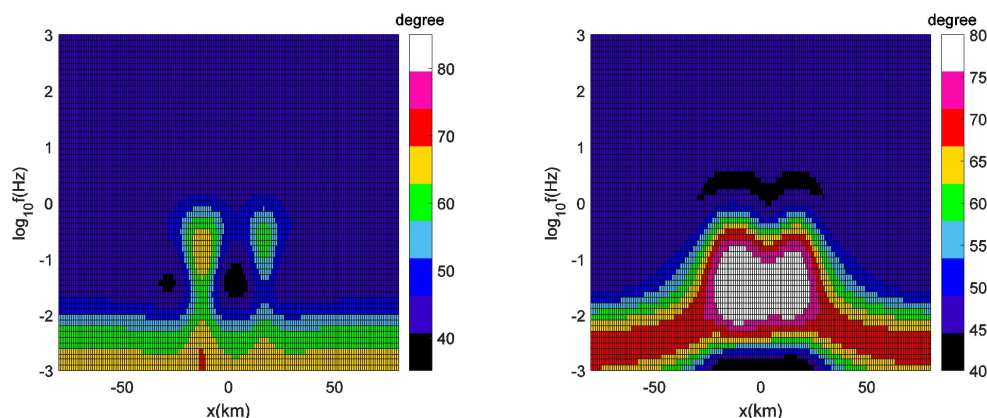


图 3.8 二维模型的阻抗相位拟断面图。左图：TM 模式，右图 TE 模式。

#### 四 算法实现过程的经验与总结

- 1) 二维情况下，电磁波可以解耦为一组 TE 波和一组 TM 波。
- 2) 有限元实现的基本流程为：单元插值→单元积分得到单元刚度矩阵→总体合成，得到总体刚度矩阵→求解方程组。
- 3) 利用双二次插值单元比双线性插值单元精度高。
- 4) 计算结果与网格划分有关，网格划分不合理会造成较大误差。
- 5) 在电阻率变化的地方应加密网格，相邻网格的大小差距不能太大。
- 6) 目标区域使用细网格，周围区域使用粗网格。
- 7) 矩形网格只适用于平坦的边界，对于复杂边界比较难处理。

[1] [http://www.complete-mt-solutions.com/mtnet/main/source.html#2d\\_codes](http://www.complete-mt-solutions.com/mtnet/main/source.html#2d_codes).